

آنالیز نویز در تقسیم‌کننده فرکانس مایکروویو

نوید صفائی حائری
کارشناس ارشد

عبدالعلی عبدی پور
استادیار

رضا فیروزآبادی
دانشجوی دکتری

دانشکده مهندسی برق، دانشگاه صنعتی امیرکبیر

چکیده

هدف این مقاله، آنالیز در یک تقسیم‌کننده فرکانس آنالوگ از نوع regenerative در باند C مایکروویو است. با استفاده از روش توازن هارمونیکی و روش هاتریس تبدیل و با در نظر گرفتن مدل ساده نویز برای قطعه فعال، چگالی طیف نویز فاز و نویز دامنه برای تقسیم‌کننده فرکانس (بدون در نظر گرفتن نویز سیگنال تحریک) محاسبه و شیوه‌سازی شده‌اند.

Noise Analysis of a Microwave Frequency Divider

A. Abdipour
Assistant Professor

N. Safaei Haeri
M.Sc. Student

R. Firuzabadi
Ph. D. Student

Electrical Engineering Department,
Amirkabir University of Technology

Abstract

This paper presents noise analysis of a regenerative analog frequency divider at microwave C band frequency. Using harmonic balance and conversion matrix methods, by considering a simple noise model for active device, phase and amplitude noise spectrum densities for the frequency divider (without considering the noise of excitation signal) are calculated and simulated.

۴ گیکاھرتز (شکل ۱) مورد مطالعه قرار گرفته شده است. آنالیز سیگنانالی این تقسیم کننده با در نظر گرفتن مدل غیرخطی [۵] برای ترانزیستور، قبل از ارائه گردیده است [۶] و در این مقاله تحلیل تقسیم کننده فرکانس از نظر نویز با در نظر گرفتن مدل دینامیکی غیرخطی ترانزیستور که به صورت زیر بخش بندی شده است، انجام می‌گیرد.

در بخش ۲، روش ماتریس تبدیل و مدل پارامتری عناصر غیرخطی، معمول در مدلسازی غیرخطی قطعات مایکروویو بررسی گردیده اند و در بخش ۳ به نحوه محاسبه طیف قدرت نویز فاز و نویز دامنه اسیلاتورها می‌پردازیم. آنالیز نویز تقسیم کننده با بکارگیری مفاهیم بخش‌های ۲ و ۳ در بخش ۴ ارائه شده است.

۲- روش ماتریس تبدیل^۳

روش ماتریس تبدیل، برای وقتی که می‌خواهیم پاسخ یک مدار غیرخطی را به دو سیگنانال پیدا کنیم که یکی از آنها قوی (سیگنانال بزرگ) و دیگری ضعیف (سیگنانال کوچک) است، روش سودمندی است. کاربرد عمدی این روش در آنالیز میکسرا در گیرنده‌ها و آنالیز نویز مدارهای غیرخطی می‌باشد.

در چنین حالتی برای آنالیز مدار ابتدا تنها سیگنانال بزرگ را در نظر می‌گیریم و با استفاده از روش توازن هارمونیکی^۴ مدار را آنالیز می‌کنیم [۷]. در نتیجه تحلیل سیگنانال بزرگ، ولتاژهای دو سر عناصر غیرخطی مدار مشخص می‌شود که به آنها ولتاژ فرمان می‌گوییم. در مرحله بعد با استفاده از ولتاژ فرمان سیگنانال بزرگ به دست آمده از مرحله قبل، ماتریس تبدیل عناصر غیرخطی را پیدا می‌کنیم. ماتریس تبدیل یک المان بیانگر رفتار سیگنانال کوچک آن المان در حضور ولتاژ فرمان دو سر آن می‌باشد. بنابر این پس از بدست آوردن ماتریس تبدیل عناصر مدار و با جایگزین کردن آنها به جای عناصر مدار در آنالیز سیگنانال کوچک، به یک مدار خطی و البته متغیر با زمان می‌رسیم که به وسیله آن می‌توان پاسخ سیگنانال کوچک ورودی را نیز بدست آورد.

برای یافتن ماتریس تبدیل یک کندوکتانس متناوب (t) g با پریود $T_p = \frac{2\pi}{\omega_p}$ ، می‌توان بسط سری فوریه آن را به شکل زیر نوشت [۷]:

$$g(t) = \sum_{n=-\infty}^{\infty} G_n \cdot e^{in\omega_p t} \quad (1)$$

امروزه استفاده از مدارات فعال مایکروویو برای کاربردهای نظامی و غیرنظامی و با تکنولوژی‌های مختلف MIC و MMIC رو به افزایش است [۱]. بهره‌گیری از فن آوریهای جدید در ساخت قطعات متجانس^۵ و نامتجانس^۶ باعث شده است که عناصر فعال مایکروویو در کاربردهای خطی و غیرخطی خود نظیر تقویت کننده‌ها، میکسرها، اسیلاتورها، ضربکننده‌ها و تقسیم کننده‌های فرکانس، در باند سانتیمتری و میلیمتری کارایی خوبی را از خود نشان دهد. بسیاری از عناصر غیرفعال مانند آنتن، کوپلر، ایزولاتور و فیلتر، امروزه به مدد همین فن آوری‌ها در مایکروویو به صورت فعال تحقق فیزیکی می‌یابند که موجب می‌شود مدار به جای تلف، دارای بهره و مزایای دیگر شود. اما حضور قطعات فعال در مدار باعث افزایش نویز و در نتیجه کاهش حساسیت سیستم، تخریب خلوص طیف سیگنانال مفید و مسائل دیگر می‌گردد. لذا مطالعه نویز در مدارهای خطی و غیرخطی جهت بهبود عملکرد کلی سیستم، امری ضروری است.

از میان کاربردهای مختلف فوق، رفتار سیگنانال و نویز یک نمونه تقسیم کننده فرکانسی از نوع regenerative [۲] را مورد بررسی قرار می‌دهیم. تقسیم کننده‌های فرکانسی که از نظر ژنتیکی از خانواده اسیلاتورهای سنکرون شده محسوب می‌شوند، در سیستم‌های مخابراتی به خصوص سنتزکننده‌های فرکانسی دارای اهمیت ویژه هستند [۳] و به خاطر اینکه قطعه فعال در این حالت دارای عملکرد غیرخطی است، آنالیز سیگنانال و نویز آن به سهولت مدارهای خطی نبوده و حتی آنالیز تحلیلی (غیر عددی) سیگنانال و نویز اسیلاتورها با در نظر گرفتن تقریب‌های گوناگون، مشکلات خاص خود را دارا می‌باشد [۴].

در مورد آنالیز تقسیم کننده‌ها می‌توان از کار Zhang X. و همکاران او [۱۰] در در اسیلاتورهای تزریق شده زیر هارمونیکی نام برد که برای مدل ترانزیستور فقط یک عنصر غیرخطی استاتیکی (منبع جریان) انتخاب شده است، و یا به کار Llopis [۱۱] می‌توان اشاره نمود که نویز در یک تقسیم کننده را بررسی کرده است. در کار ما هم مدل عنصر غیرخطی و هم توبولوژی تقسیم کننده و آنالیز از نظر محاسبات مربوط به نویز دامنه متفاوت است.

در اینجا یک نمونه تقسیم کننده فرکانسی آنالوگ ۸ به

و یا :

$$\vec{\Delta I} = j [W] [C] \cdot \vec{\Delta V} \quad (8)$$

که در آن:

$$[W] = \begin{bmatrix} \omega_{-n} & & & \\ & \omega_{-n+1} & & \\ & & \ddots & \\ & & & \omega_0 \\ 0 & & & & \ddots \\ & & & & & \omega_n \end{bmatrix}$$

$$[C] = \begin{bmatrix} c_0 & c_{-1} & \dots & c_{-2n} \\ c_1 & c_0 & \dots & c_{-2n+1} \\ \vdots & \vdots & \ddots & \vdots \\ c_n & c_{n-1} & \dots & c_{-n} \\ \vdots & \vdots & \ddots & \vdots \\ c_{2n} & c_{2n-1} & \dots & c_0 \end{bmatrix}$$

مدل پارامتریک خازن غیرخطی در شکل ۳ نشان داده شده است.

در حالت کلی عنصر غیرخطی می‌تواند وابسته به چند متغیر مستقل باشد. در این حالت به تعداد متغیرهای مستقل، ماتریس تبدیل خواهیم داشت. اگر داشته باشیم:

$$i(t) = f(V_1(t), V_2(t), \dots, V_N(t)) \quad (9)$$

ولتاژ دهانه‌ها را می‌توان به شکل زیر نوشت:

$$V_i(t) = \operatorname{Re} \left[\sum_{n=0}^{\infty} V_{in} e^{jn\omega_p t} \right] \quad (10)$$

همچنین می‌دانیم که ولتاژ کل، برابر مجموع ولتاژ سیگنال بزرگ و سیگنال کوچک است. یعنی داریم: $v_i(t) = V_i(t) + \delta V_i(t)$ که مقدار ولتاژ سیگنال کوچک برابر است با:

$$\delta V_i(t) = \operatorname{Re} \left[\Delta V_{i0}(t) e^{j0\omega_p t} + \sum_{n=1}^{\infty} \Delta V_{in}(t) e^{jn\omega_p t} + \sum_{n=1}^{\infty} \Delta V_{i+n}(t) e^{j(n\omega_p + \omega_s)t} \right] \quad (11)$$

در نتیجه جریان سیگنال کوچک برابر خواهد بود با:

$$\delta i(t) = \frac{\partial f}{\partial V_1} \delta V_1(t) + \frac{\partial f}{\partial V_2} \delta V_2(t) + \dots + \frac{\partial f}{\partial V_N} \delta V_N(t) \quad (12)$$

ولتاژ اختلالات در حالت کلی عبارت است از:

$$\delta V(t) = \operatorname{Re} \left[\Delta V_s e^{j\omega_s t} + \sum_{n=1}^{\infty} \Delta V_n e^{jn(\omega_p + \omega_s)t} + \sum_{n=1}^{\infty} \Delta V_{-n} e^{j(n\omega_p - \omega_s)t} \right] \quad (2)$$

جریان اختلالات نیز برابر است با:

$$\delta I(t) = \operatorname{Re} \left[\Delta I_s e^{j\omega_s t} + \sum_{n=1}^{\infty} \Delta I_n e^{jn(\omega_p + \omega_s)t} + \sum_{n=1}^{\infty} \Delta I_{-n} e^{j(n\omega_p - \omega_s)t} \right] \quad (3)$$

با توجه به روابط (1)، (2) و (3) می‌توان نوشت:

$$\begin{bmatrix} \Delta I_{-n} \\ \Delta I_{-(n-1)} \\ \vdots \\ \Delta I_0 \\ \vdots \\ \Delta I_n \end{bmatrix} = \begin{bmatrix} g_0 & g_{-1} & \dots & g_{-2n} \\ g_1 & g_0 & \dots & g_{-2n+1} \\ \vdots & \vdots & \ddots & \vdots \\ g_n & g_{n-1} & \dots & g_{-n} \\ \vdots & \vdots & \ddots & \vdots \\ g_{2n} & g_{2n-1} & \dots & g_0 \end{bmatrix} \begin{bmatrix} \Delta V_{-n} \\ \Delta V_{-(n-1)} \\ \vdots \\ \Delta V_0 \\ \vdots \\ \Delta V_{+n} \end{bmatrix} \quad (4)$$

و یا

$$\vec{\Delta I} = [G] \cdot \vec{\Delta V} \quad (5)$$

به ماتریس G ، ماتریس تبدیل کندوکتانس غیرخطی گفته می‌شود. ابعاد ماتریس کندوکتانس برابر است با $(N_H + 1) \times (2N_H + 1)$ ، که N_H تعداد هارمونیک‌های در نظر گرفته شده برای آنالیز است.

مدل پارامتریک کندوکتانس غیرخطی با مشخصه $I = f_1(V)$ در شکل ۲ نشان داده شده است.

در مورد یک خازن غیرخطی با مشخصه $q = f_2(V)$

$$c(t) = \sum_{n=-\infty}^{\infty} C_n e^{jn\omega_p t} \quad (6)$$

$$\begin{bmatrix} \Delta I_{-n} \\ \Delta I_{-(n-1)} \\ \vdots \\ \Delta I_0 \\ \vdots \\ \Delta I_n \end{bmatrix} = \begin{bmatrix} jc_0 \omega_n & jc_1 \omega_n & \dots & jc_{-2n} \omega_n \\ jc_{-1} \omega_{n+1} & jc_0 \omega_{n+1} & \dots & jc_{-2n+1} \omega_{n+1} \\ \vdots & \vdots & \ddots & \vdots \\ jc_n \omega_0 & jc_{n-1} \omega_0 & \dots & jc_{-n} \omega_0 \\ \vdots & \vdots & \ddots & \vdots \\ jc_{2n} \omega_n & jc_{2n-1} \omega_n & \dots & jc_0 \omega_n \end{bmatrix} \begin{bmatrix} \Delta V_{-n} \\ \Delta V_{-(n-1)} \\ \vdots \\ \Delta V_0 \\ \vdots \\ \Delta V_{+n} \end{bmatrix} \quad (7)$$

که در این رابطه:

$$\frac{\partial f}{\partial V_j} = \sum_{n=-\infty}^{\infty} g_{nj} \cdot e^{j n \omega_p t}, \quad j = 1, 2, \dots, N \quad (13)$$

و g_{nj} ها عناصر ماتریس تبدیل مربوط به متغیر V_j می‌باشند.

پس در حالتی که N متغیر V_1 تا V_N داشته باشیم، باید ماتریس تبدیل را به ازای هر کدام از متغیرها به دست بیاوریم. با فرض اینکه G_1 تا G_N ماتریس‌های تبدیل به دست آمده به ازای متغیرهای V_1 تا V_N باشند، با جایگزینی آنها به جای المان غیرخطی خواهیم داشت:

$$\begin{bmatrix} \Delta I_n \\ \vdots \\ \Delta I_0 \\ \vdots \\ \Delta I_{-n} \end{bmatrix} = [G_1] \begin{bmatrix} \Delta V_{1-n} \\ \vdots \\ \Delta V_{10} \\ \vdots \\ \Delta V_{1+n} \end{bmatrix} + [G_2] \begin{bmatrix} \Delta V_{2-n} \\ \vdots \\ \Delta V_{20} \\ \vdots \\ \Delta V_{2+n} \end{bmatrix} + \dots + [G_N] \begin{bmatrix} \Delta V_{N-n} \\ \vdots \\ \Delta V_{N0} \\ \vdots \\ \Delta V_{N+n} \end{bmatrix} \quad (14)$$

و یا:

$$\vec{\Delta I} = [G_1] \vec{\Delta V_1} + [G_2] \vec{\Delta V_2} + \dots + [G_N] \vec{\Delta V_N} \quad (15)$$

و به همین ترتیب در حالتی که عنصر غیرخطی خازن باشد داریم:

$$\vec{\Delta I} = j[W] \left\{ [C_1] \vec{\Delta V_1} + [C_2] \vec{\Delta V_2} + \dots + [C_N] \vec{\Delta V_N} \right\} \quad (16)$$

پس از بدست آوردن ماتریس تبدیل عناصر مدار و با جایگزینی آنها، به یک مدار خطی متغیر با زمان می‌رسیم که آنالیز آن به کمک روش‌های متداول آنالیز مدارهای خطی میسر می‌شود.

در اینجا یادآوری می‌شود که بدست آوردن ماتریس تبدیل، بر شناخت حالت دائمی سیستم غیرخطی در حضور سیگнал بزرگ به دست آمده از روش توانی هارمونیک استوار می‌باشد.

۳- طیف قدرت نویز

در تمامی قطعات الکترونیکی، منابع مختلف نویز با منشأ مقاومت وجود دارند. مهمترین این منابع در قطعات

الکترونیکی به طور عام عبارتند از نویز حرارتی^۵، نویز شات^۶، نویز دیفیوژن^۷، نویز G-R^۸، و نویز $1/f$ ^۸. از میان منابع فوق، نویز $1/f$ در اسیلاتورهای آزاد و غیرآزاد (ستکرون) دارای اهمیت ویژه است و معمولاً در محاسبات و اندازه گیری‌ها به عنوان منبع نویز غالب در نظر گرفته می‌شود [۸]. این منبع نویز از طریق عملکرد غیرخطی عناصر فعل (مانند ترانزیستورها)، باعث ایجاد مدولاسیون‌های مزاحم فاز و دامنه در سیگنال نوسان (سیگنال مفید) می‌شود و در نتیجه دارای طیف نویز فاز و دامنه در اطراف فرکانس نوسان می‌باشیم.

در اینجا به محاسبه طیف نویز فاز و دامنه ناشی از یک منبع ولتاژ نویز از نوع $1/f$ می‌پردازیم. فرض کنیم ولتاژ خروجی (ولتاژ بار) مدار تقسیم کننده فرکانس سیگنالی سینوسی (t) با دامنه A_0 ، فرکانس زاویه ای ω_0 و فاز ϕ_0 باشد:

$$V_e(t) = A_0 \cos(\omega_0 t + \phi_0) \quad (17)$$

ولتاژ خروجی مدوله شده در فاز و دامنه ناشی از اختلالات نویز با در نظر گرفتن تئوری Penfield [۹] برابر است با:

$$V(t) = (A_0 + \delta A(t)) \cos(\omega_0 t + \phi_0 + \delta \phi(t)) \quad (18)$$

در این رابطه δA و $\delta \phi$ به ترتیب دامنه و فاز ناشی از نویز هستند. می‌توانیم رابطه بالا را به شکل زیر بنویسیم.

$$V(t) = \operatorname{Re} \left[A_0 (1 + \frac{\delta A(t)}{A_0}) e^{j(\omega_0 t + \phi_0 + \delta \phi(t))} \right] \quad (19)$$

از آنجا که δA و $\delta \phi$ تغییرات ناشی از نویز هستند، بدیهی است که مقدار آنها نسبت به سیگنال بزرگ خروجی خیلی کوچکتر است، یعنی می‌توان نوشت:

$$\begin{cases} \frac{\delta A(t)}{A_0} \ll 1 \\ \delta \phi(t) \ll \omega_0 t \end{cases} \quad (20)$$

باتوجه به کوچکی تغییرات فاز سیگنال می‌توانیم از تقریب زیر استفاده کنیم:

$$e^{j \delta \phi(t)} \approx 1 + j \cdot \delta \phi(t) \quad (21)$$

چگالی طیف قدرت نویز فاز در فرکانس اصلی به دست می آید:

$$S_{\Delta\Phi} = \frac{|e^{j\phi_0} V_L^* - e^{-j\phi_0} V_U|}{|A_0|^2} \quad (29)$$

همچنین چگالی طیف قدرت نویز دامنه را می توان به صورت زیر بیان داشت:

$$S_{\Delta A} = \frac{|\Delta A|}{|A_0|^2} \quad (30)$$

با قرار دادن مقدار ΔA از رابطه (۲۷) در رابطه (۳۰)، طیف قدرت نویز دامنه در فرکانس اصلی به دست می آید:

$$S_{\Delta A} = \frac{|e^{j\phi_0} V_L^* + e^{-j\phi_0} V_U|}{|A_0|^2} \quad (31)$$

برای به دست آوردن نویز فاز و نویز دامنه همانطور که از روابط (۲۹) و (۳۱) دیده می شود، باید مقادیر A_0 و ϕ یا همان ولتاژ سیگنال بزرگ خروجی، و همچنین ولتاژهای V_L و V_U یعنی ولتاژهای کناری سیگنال نویز حول سیگنال بزرگ اصلی را بدست آوریم. V_U ولتاژ کناری بالایی ناشی از مدولاسیون نویز با فرکانس زاویه ای Ω ، و سیگنال اصلی با فرکانس زاویه ای ω_0 است؛ که پس فرکانس زاویه ای آن $\omega_0 + \Omega$ است. همچنین V_L ولتاژ کناری پایینی ناشی از مدولاسیون نویز با فرکانس زاویه ای ω_0 است؛ پس فرکانس زاویه ای آن $\omega_0 - \Omega$ است.

۴- آنالیز نویز تقسیم کننده فرکانس

ایده کلی که برای آنالیز نویز از آن استفاده می کنیم این است که نویز را به عنوان یک سیگنال کوچک در کنار سیگنال بزرگ ورودی فرض می کنیم و با انجام آنالیز «سیگنال کوچک - سیگنال بزرگ»، طیف قدرت نویز را محاسبه می کنیم [۹].

برای آنالیز نویز تقسیم کننده فرکانس ابتدا باید پاسخ سیگنال بزرگ مدار را به دست بیاوریم. برای به دست آوردن پاسخ سیگنال بزرگ، از روش توازن هارمونیکی [۷] استفاده می کنیم. با استفاده از روش توازن هارمونیکی ولتاژهای سیگنال بزرگ عناصر غیرخطی (ولتاژهای فرمان)، و همچنین ولتاژ خروجی روی بار به

پس اکنون با توجه به روابط (۱۹) و (۲۱)، و با صرفنظر کردن از جمله درجه دوم داریم:

$$V(t) = \operatorname{Re} \left\{ A_0 \left[1 + \frac{\delta A(t)}{A_0} + j \delta \phi(t) \right] e^{j(\omega_0 t + \phi_0)} \right\} \quad (22)$$

همچنین با فرض مدولاسیون های سینوسی با فرکانس Ω برای تغییرات دامنه و فاز داریم:

$$\begin{cases} \delta A(t) = \operatorname{Re} \{ \Delta A \cdot e^{j\Omega t} \} \\ \delta \phi(t) = \operatorname{Re} \{ \Delta \phi \cdot e^{j\Omega t} \} \end{cases} \quad (23)$$

با ترکیب معادلات (۲۲) و (۲۳) خواهیم داشت:

$$V(t) = \operatorname{Re} \left\{ A_0 \left[1 + \frac{\Delta A}{2A_0} e^{j\Omega t} + \frac{\Delta A^*}{2A_0} e^{-j\Omega t} + j \frac{\Delta \phi}{2} e^{j\Omega t} + j \frac{\Delta \phi^*}{2} e^{-j\Omega t} \right] e^{j(\omega_0 t + \phi_0)} \right\} \quad (24)$$

که این رابطه را می توان به شکل زیر نوشت:

$$V(t) = \operatorname{Re} [A_0 e^{j(\omega_0 t + \phi_0)} + V_U e^{j(\omega_0 + \Omega)t} + V_L e^{j(\omega_0 - \Omega)t}] \quad (25)$$

در رابطه اخیر V_U و V_L به ترتیب ولتاژهای فرکانس های پایینی ($\omega_0 - \Omega$) و بالایی ($\omega_0 + \Omega$) ناشی از مدولاسیون نویز با سیگنال اصلی (ω_0) هستند و مقدار آنها برابر است با:

$$\begin{cases} V_L = A_0 e^{j\phi_0} \left[\frac{j \Delta \phi^*}{2} + \frac{\Delta A^*}{2A_0} \right] \\ V_U = A_0 e^{j\phi_0} \left[\frac{j \Delta \phi}{2} + \frac{\Delta A}{2A_0} \right] \end{cases} \quad (26)$$

حال با توجه به رابطه (۲۶)، مقادیر تغییرات فاز و دامنه را بر حسب ولتاژهای V_L و V_U محاسبه می کنیم:

$$\Delta \phi = j \frac{e^{j\phi_0} V_L^* - e^{-j\phi_0} V_U}{A_0} \quad (27)$$

$$\Delta A = e^{j\phi_0} V_L^* - e^{-j\phi_0} V_U$$

از طرفی می دانیم که چگالی طیف قدرت نویز فاز، برابر است با:

$$S_{\Delta\phi} = |\Delta\phi|^2 \quad (28)$$

با قرار دادن مقدار $\Delta\phi$ از رابطه (۲۷) در رابطه (۲۸)،

نظیر اسلاطورهای سنکرون شده، نویز $f/1$ ، نویز غالب مدار می باشد [۸].

باتوجه به شکل ۴ و مقادیر ولتاژ و جریان نشان داده شده بر روی آن، داریم:

$$V_s = V_1 + V_3 + I_1 \cdot (Z_g + R_{in}) - E_g = (I_F - I_1) \cdot Z_s \quad (۲۲)$$

$$V_1 = V_2 + V_3 + I_2 \cdot Z_d = -(I_F + I_2) \cdot Z_L \quad (۲۳)$$

$$V_3 = (I_1 + I_2) \cdot Z_s \quad (۲۴)$$

$$I_F = \frac{V_I - V_s}{Z_F} \quad (۲۵)$$

طبق تعریف ماتریس تبدیل، خواهیم داشت:

$$I_1 = j[w] [C_{gs1}] \cdot V_1 + j[w] [C_{gs2}] \cdot V_2 \quad (۲۶)$$

$$I_2 = [G_{Ids1}] \cdot V_1 + [G_{Ids2}] \cdot V_2 \quad (۲۷)$$

دیده می شود که با قرار دادن روابط (۲۴) تا (۲۷) در دو رابطه اول یعنی (۲۲) و (۲۳)، دو معادله با دو متغیر V_1 و V_2 بدست می آید که به شکل کلی زیر خواهد بود.

$$\begin{bmatrix} E_g \\ 0 \end{bmatrix} = \begin{bmatrix} A & B \\ C & D \end{bmatrix} \begin{bmatrix} V_1 \\ V_2 \end{bmatrix} \quad (۲۸)$$

با حل معادله (۲۸) متغیرهای V_1 و V_2 ، و در نتیجه سایر ولتاژها و جریان های سیگنال کوچک مدار (ناشی از نویز) بدست می آیند. بنابر این پس از محاسبه ولتاژ V_1 ، ولتاژ روی بار 50 اهم در خروجی از رابطه زیر بدست می آید:

$$V_{load} = \frac{50}{Z_I} V_I \quad (۲۹)$$

نکته مهمی که باید به آن توجه کنیم این است که در تمام روابط فوق هر کدام از بردارهای ولتاژ و جریان ماتریس هایی هستند که درسه فرکانس $\omega_0 = 50\Omega$ و $\omega_0 + \omega$ نوشته می شوند، چون هدف ما پیدا کردن ولتاژهای باند کناری رویبار است. بنابر این در روابط بالا امپدانس های نیز به شکل ماتریس های قطری خواهند بود و شکل کلی آنها و ماتریس w به صورت زیر است:

دست می آیند. در مرحله دوم باید ماتریس تبدیل عناصر غیرخطی را با توجه به ولتاژ سیگنال بزرگ دو سر آنها، مطابق آنچه در بخش ۲ بیان شد، محاسبه کنیم. از این مرحله به بعد مدار به یک مدار خطی ولی متغیر با زمان تبدیل می شود. یعنی با داشتن اطلاعات آماری نویز و یا رابطه ریاضی آن، نویز را به شکل یک منبع سیگنال کوچک وارد مدار می کنیم و با داشتن مدل پارامتری، ولتاژهای کناری نویز یعنی V_L و V_U را به دست می آوریم. و در نهایت با جایگزینی مقادیر فوق در معادلات (۲۹) و (۲۱) طیف نویز فاز و نویز دامنه را به دست می آوریم.

برای بررسی و آنالیز تقسیم کننده فرکانس ترانزیستور MESFET NE900175 انتخاب و مدل غیرخطی Statz [۵] که پارامترهای آن در زیر داده شده، در نظر گرفته شده است [۶]:

$b = 0$	$\lambda = 0.1$	$V_t = -3.2$ v	$\beta = 0.02$
$R_{in} = 2 \Omega$	$R_d = 3 \Omega$	$R_g = 2 \Omega$	$R_s = 2 \Omega$
$C_{gss0} = 0.6 \text{ pF}$	$C_{gd0} = 0$	$Vb = 1$	$VBR = 0$
$\delta = 0.2$	$FC = 0.5$	$\alpha = 2$	

با اجرای یک برنامه Matlab که به همین منظور نوشته شده است، ولتاژ خروجی و نیز ولتاژهای فرمان عناصر غیرخطی C_{gs} و I_{ds} به دست می آیند. سپس ماتریس های تبدیل C_{gs} و I_{ds} با توجه به ولتاژهای دو سر آنها یعنی V_{gs} و V_{ds} محاسبه می شوند. چون C_{gs} و I_{ds} به هر دو ولتاژ وابستگی دارند، هر کدام دارای دو ماتریس تبدیل هستند که یک از آنها با گرفتن تبدیل فوریه نسبت به متغیر V_{gs} و دیگری با گرفتن تبدیل فوریه نسبت به متغیر V_{ds} به دست می آید. اگر $[C_{gs1}]$ و $[C_{gs2}]$ به ترتیب ماتریس های تبدیل C_{gs} نسبت به متغیرهای V_{gs} و V_{ds} باشند، و $[G_{Id1}]$ و $[G_{Id2}]$ نیز به ترتیب ماتریس های تبدیل I_{ds} نسبت به V_{gs} و V_{ds} باشند، می توانیم در مدار تقسیم کننده به جای عناصر غیرخطی C_{gs} و I_{ds} سیگنال کوچک آنها یعنی ماتریس های تبدیل آنها را قرار دهیم (شکل ۴).

در اینجا (w) و Z_{in} امپدانس های تطبیق در ورودی و خروجی هستند که به ترتیب شامل مقاومت 50Ω اهم ژنراتور ورودی و مقاومت 50Ω اهم بار خروجی نیز می باشند. همچنین E_g منبع نویز عنصر فعلی است که آن را بلا فاصله قبل از مدل ترانزیستور قرار می دهیم. چون مدار می یک تقسیم کننده فرکانس regenerative است،

۵-نتیجه‌گیری

- در این مقاله، آنالیز نویز برای یک نمونه تقسیم کننده فرکانس از نوع regenerative تشریح شد. مراحل آنالیز نویز را می‌توان به طور خلاصه به شکل زیر بیان کرد:
- ۱- انتخاب مدل غیرخطی مناسب برای قطعه فعال که در اینجا از مدل statz استفاده شد.
 - ۲- اعمال روش توازن هارمونیک و به دست آوردن سیگنال‌های فرمان عناصر غیرخطی.
 - ۳- محاسبه ماتریس تبدیل عناصر غیرخطی با توجه به سیگنال‌های فرمان به دست آمده از مرحله دوم.
 - ۴- به دست آوردن ولتاژ نویز در هر باند کناری با اعمال شرایط مرزی و KVL و KCL بر روی مدار.
 - ۵- محاسبه طیف قدرت نویز فاز و نویز دامنه از روابط (۲۹) و (۳۱).

همانطور که در شکل ۶ دیده می‌شود، در فرکانس‌های نزدیک به فرکانس نوسان، نویز فاز از ۳۰ dB اهمیت بیشتری برخوردار است و مقدار آن حدود ۳۰ dB از نویز دامنه بیشتر است. با دور شدن از فرکانس نوسان هر دو نویز فاز و دامنه باشیب ۳۰ dB در هر ده کاهش می‌یابند. در فرکانس‌های دورتر از ۱۰ KHz نسبت به فرکانس نوسان، نویز فاز همچنان با نسبت ۳۰ dB در هر ده کاهش می‌یابد در حالیکه نویز دامنه در این محدوده با شیب ۲۰ dB در هر ده کاهش می‌یابد. از فرکانس ۱MHz به بعد نیز نویز حرارتی نویز غالب خواهد بود که اثر آن نیز در شکل مشاهده می‌شود.

شکل ۷، مقدار نویز فاز اندازه‌گیری شده در یک نمونه تقسیم کننده فرکانس اقتباس شده از مرجع [۱۱] را نشان می‌دهد. این منحنی فقط به منظور نمایش مقدار نوعی نویز فاز ارائه شده است. باید توجه داشت که هم توپولوژی مدار، هم مدل ترانزیستور و فرکانس کار با مدار ذکر شده در مقاله متفاوت می‌باشد. در این مقاله، بیشتر آنالیز نویز تقسیم کننده مطرح بوده است و برای مقایسه با نتایج شبیه‌سازی، ساخت مدار و اندازه‌گیری نویز فاز آن ضروری می‌باشد.

فهرست عالم

(۸)	C	: ماتریس تبدیل ظرفیت
(۶)	فاراد	c: ظرفیت لحظه‌ای
میکروولت بر جذر هرتز	E _g	میکروولت بر جذر هرتز
(۴۳)	f	: فرکانس
(متن)		

$$[w] = \begin{bmatrix} -(\omega_0 - \Omega) & 0 & 0 \\ 0 & \Omega & 0 \\ 0 & 0 & (\omega_0 + \Omega) \end{bmatrix}$$

$$[Z] = \begin{bmatrix} Z^*(\omega_0 - \Omega) & 0 & 0 \\ 0 & Z(\Omega) & 0 \\ 0 & 0 & Z(\omega_0 + \Omega) \end{bmatrix} \quad (40)$$

همچنین ماتریس‌های تبدیل در اینجا ماتریس‌های 3×3 خواهد بود:

$$[G] = \begin{bmatrix} g_0 & g_1^* & g_2^* \\ g_1 & g_0 & g_1^* \\ g_2 & g_1 & g_0 \end{bmatrix} \quad [C] = \begin{bmatrix} C_0 & C_1^* & C_2^* \\ C_1 & C_0 & C_1^* \\ C_2 & C_1 & C_0 \end{bmatrix} \quad (41)$$

با توجه به نکات بالا، ولتاژ بار بدست آمده در خروجی به شکل زیر خواهد بود:

$$V_{load} = \begin{bmatrix} V_L \\ V_\Omega \\ V_U \end{bmatrix} = \begin{bmatrix} V_{load}(\omega_0 - \Omega) \\ V_{load}(\Omega) \\ V_{load}(\omega_0 + \Omega) \end{bmatrix} \quad (42)$$

که V_L و V_U همان ولتاژ باندهای کناری مورد نیاز برای محاسبه نویزهای فاز و دامنه در روابط (۲۷) هستند. همچنین ماتریس منبع نویز E_g برابر است با:

$$E_g = \begin{bmatrix} 0 \\ E_g(\Omega) \\ 0 \end{bmatrix} \quad (43)$$

که E_g برای تقسیم کننده فرکانس به صورت جمع دو نویز $1/f$ و نویز حرارتی در نظر گرفته می‌شود. در اینجا برای بررسی نویز در خروجی، E_g را مطابق شکل ۵ در نظر می‌گیریم. رابطه تحلیلی که برای مقدار نوعی نویز ۱/f در نظر گرفته شده است برابر $E_g(f) = \frac{10^{-5}}{\sqrt{f}}$ و یا $E_g(f) = \frac{10^{-10}}{f}$ می‌باشد [۱۲]. با اعمال ورودی نویز فوق به برنامه Matlab، نویزهای فاز و دامنه در خروجی بدست می‌آیند که در شکل ۶ نشان داده شده‌اند.

رادیان بر ثانیه (۱)

و: فرکانس زاویه ای

(۵)

G: ماتریس تبدیل کندوکتانس

(۱) مهو g: کندوکتانس لحظه ای

آمپر I: جریان

اهم مقاومت R:

(۲۲) چگالی قدرت نویز فاز S :

زمان t:

(۱) ثانیه V: ولتاژ

(۲) ولت Z: امپدانس

(۲۲) اهم ϕ_0 : فاز

(۱۷) رادیان نوسان

(۲۳) رادیان بر ثانیه Ω : فاصله فرکانسی نسبت به فرکانس

1- Homojunction

(۲۸) dBc بر هرتز

t: زمان

2- Heterojunction

(۱) ولتاژ

3- Conversion matrix

(۲) اهم

4- Harmonic Balance

(۲۲) اهم

5 - Thermal Noise

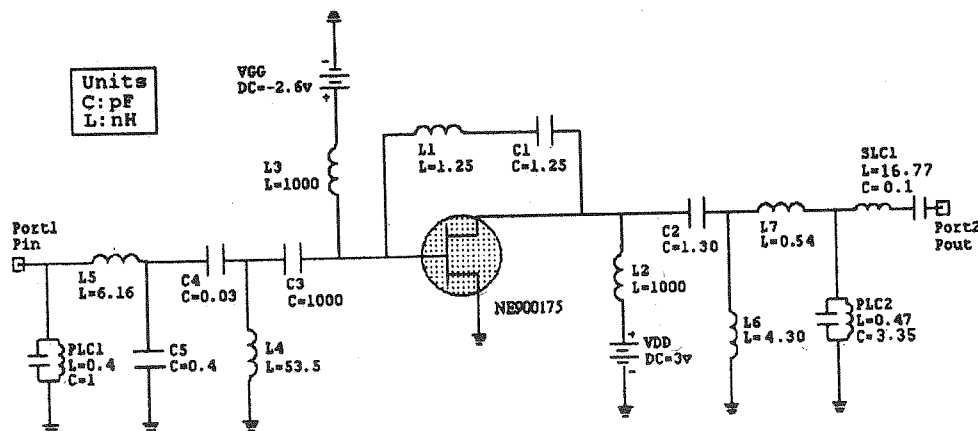
(۱۷) رادیان

6 - Shot noise

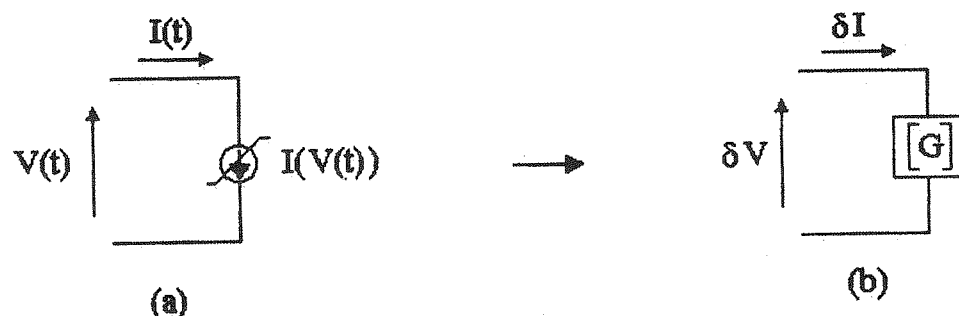
(۲۳) رادیان بر ثانیه

7- Diffusion noise

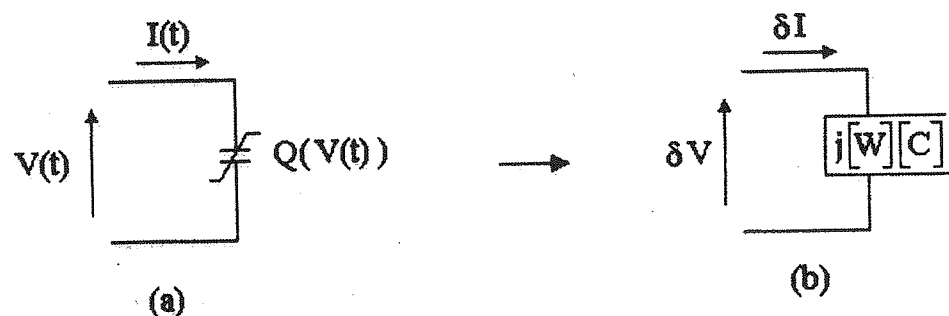
8- Generation - Recombination Noise



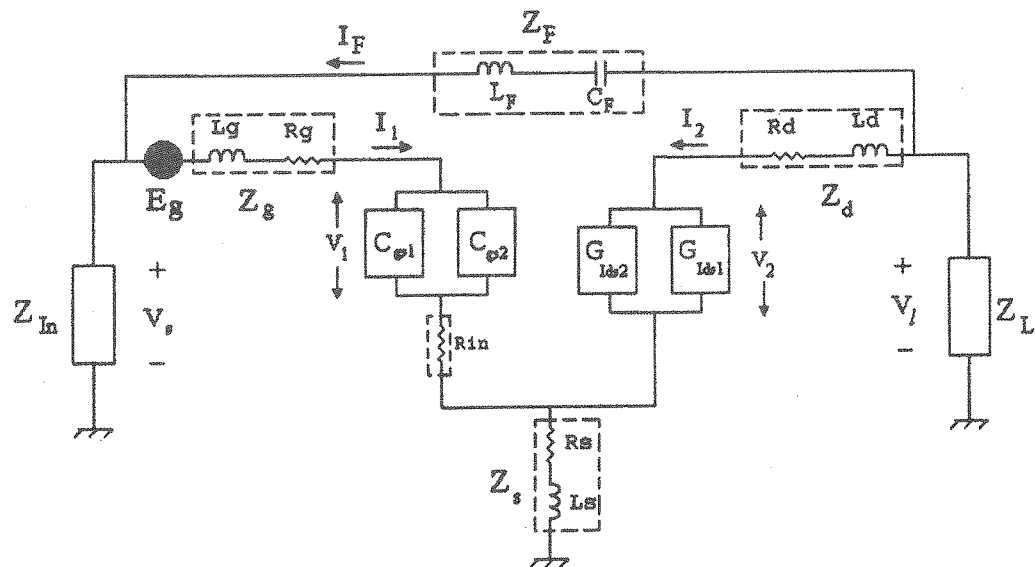
شکل (۱) شماتیکی تقسیم کننده فرکانس.



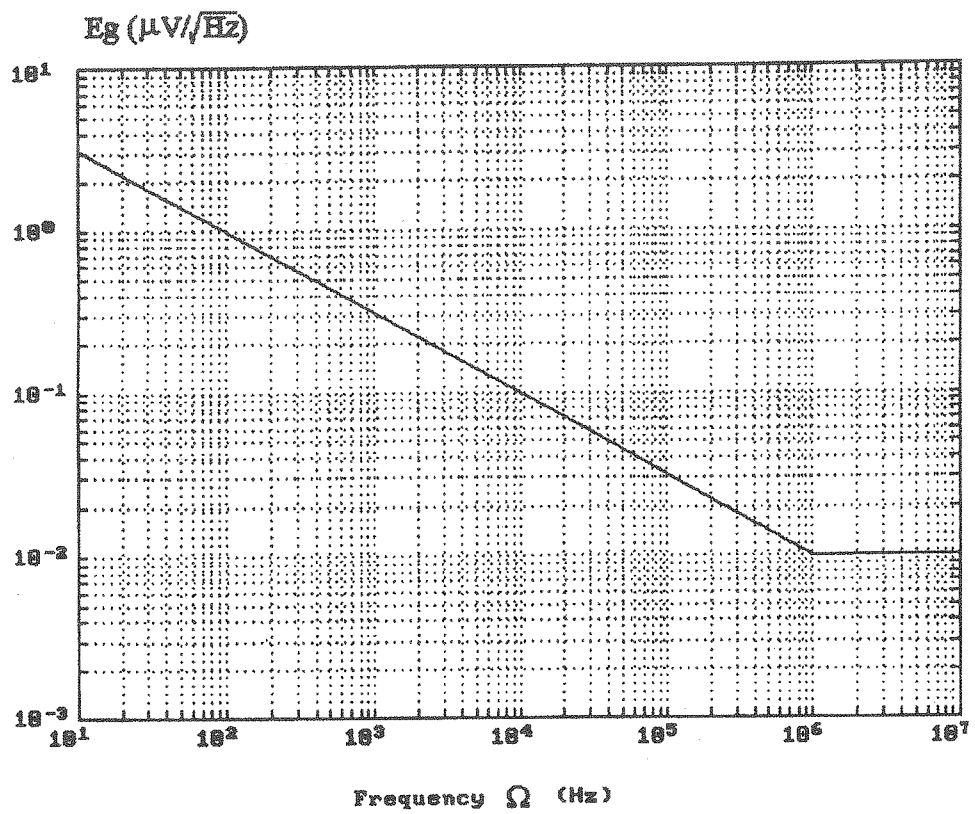
شکل (۲) مدل کندکتانس غیرخطی (a) سیگنال بزرگ (b) سیگنال کوچک (بارامتری).



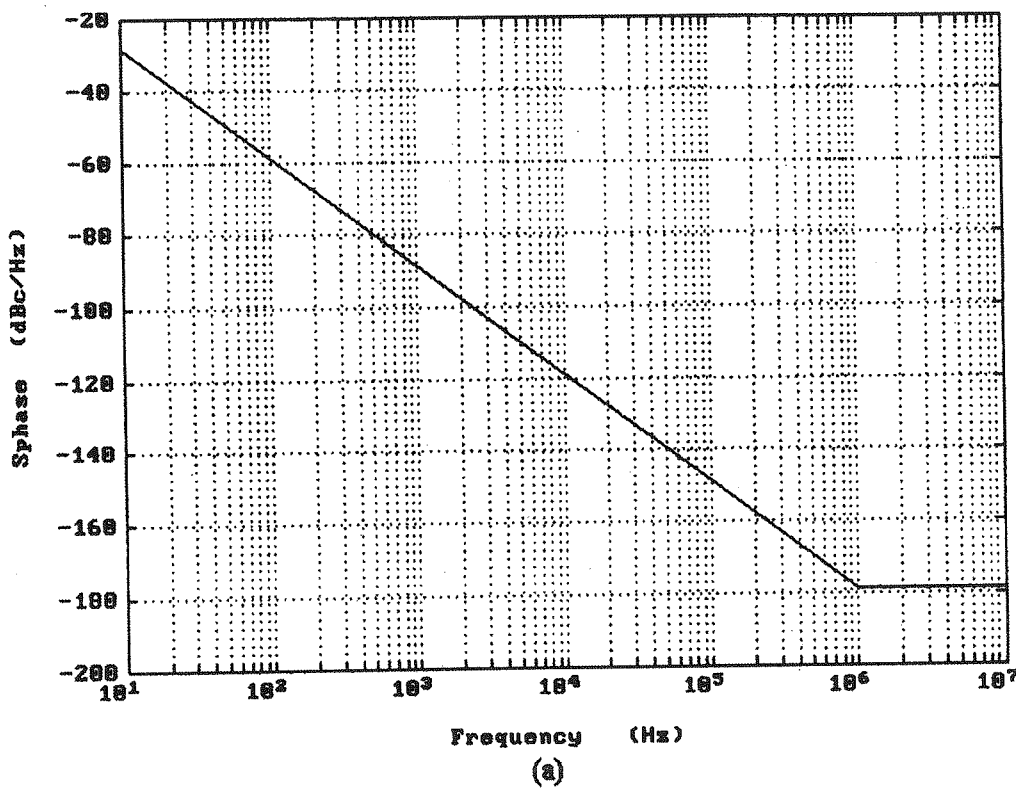
شکل (۳) مدل خازن غیرخطی (a) سیگنال بزرگ (b) سیگنال کوچک (بارامتری).



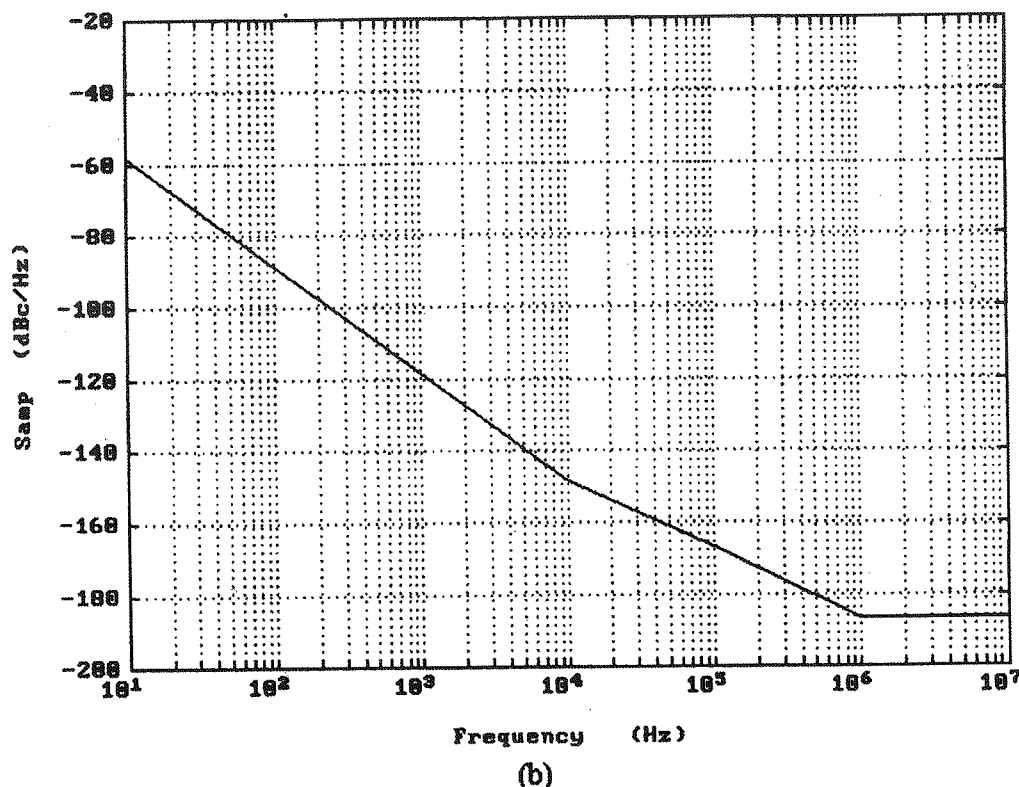
شکل (۴) مدار معادل سیگنال کوچک تقسیم کننده فرکانس برای آنالیز نویز.



شکل (۵) نویز $1/f$ به همراه نویز حرارتی در ورودی ترانزیستور.

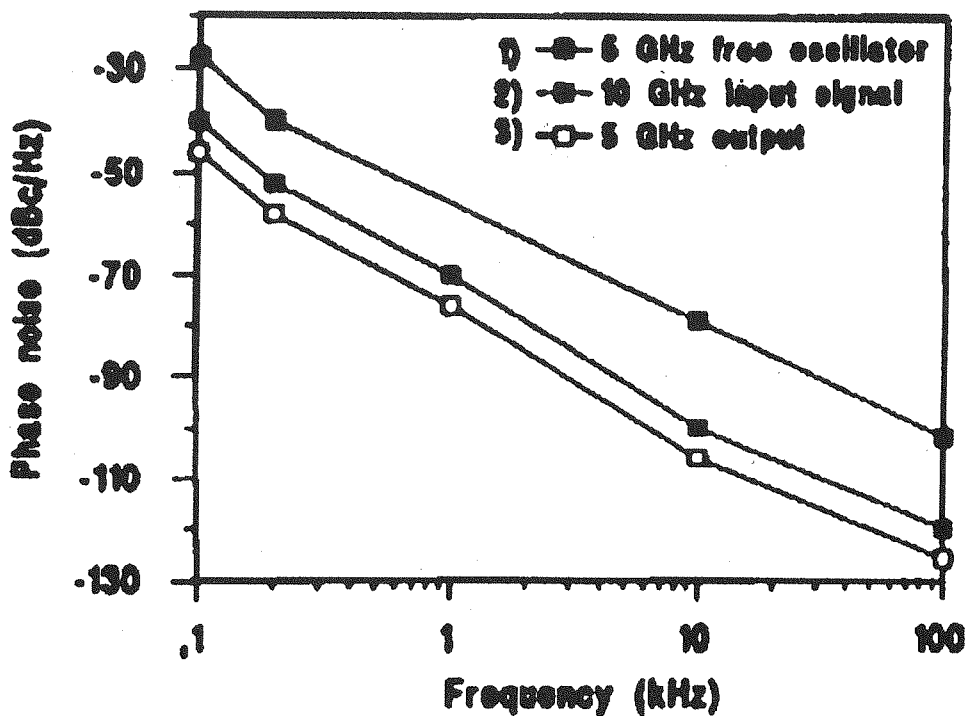


(a)



(b)

شکل (۶) (a) طیف نویز فاز در خروجی تقسیم کننده فرکانس بر دو، بر حسب میزان انحراف از فرکانس مرکزی (b) طیف نویز دامنه در خروجی تقسیم کننده.



شکل (۷). طیف نویز فاز اندازه گیری شده در ورودی و خروجی یک تقسیم کننده بر دو و نویز تقسیم کننده در حالت نوسان‌ساز آزاد [۱۱]

مراجع

۱۳۷۸

- [1] Robertson, I. D., "MMIC Design", IEE Press, 1995.
- [2] Rauscher, C., "Regenerative Frequency Division With a GAAS FET", IEEE Trans. On Microwave Theory and Techniques, Vol. MTT-32, pp. 1451-1468, Nov. 1984.
- [3] Amine, H., et al, "New Approach to GaAs MESFET Analog Frequency Dividers with Low Threshold Input Power and High Conversion Gain", IEEE Trans. on Microwave Theory and Techniques, Dec. 1992, pp 2345-2351.
- [4] Kurokawa, K., "Noise in Synchronized Oscillators", IEEE Trans. on Microwave Theory and Techniques, Apr. 1968.
- [5] Statz, H., et al, "GaAs FET Device and Circuit Simulation in SPICE", IEEE Trans. Electron Device, Vol. ED34, No.2, pp. 160-168, Feb. 1987.
- [۶] صفائی حائری، ن.، عبدالپور، ع.، آقایی نیا، ح.، «طراحی و آنالیز تقسیم کننده فرکانس در باند C مایکروویو»، مجموعه مقالات کنفرانس مهندسی برق ایران - مخابرات میدان و موج، اردبیلهشت
- [7] Maas, S.A., "Nonlinear Microwave Circuits" Artech House, 1988.
- [8] Van der Ziel, A., "Noise in Solid State Devices and Circuits", John Wiley & Sons, 1986.
- [9] Penfield, P., "Circuit Theory of Periodically Driven Nonlinear System", Proceeding of the IEEE, Vol. 54, Feb. 1966.
- [10] Zhang, X., et al, "A theoretical and Experimental study of the noise behavior of subharmonically injection locked local oscillators", IEEE Trans. Microwave Theory and Techniques, Vol. 40, pp. 895-902, May. 1992.
- [11] Llopis, O., et al, "Analytical model of noise in analog frequency divider", IEEE MTT-s Digest, 1993.
- [12] Hassane, M., et al, "Outil de CAO pour l'étude des circuits autonomes non linéaires: détermination de l'état établi du spectre de bruit résultant" in Annales des telecommunication's, No. 3-4, pp. 127-137, Mars/Avril 1990.